

## Aula 32 (10/Abr)

Na aula de hoje:

- \* Revisão da aula anterior.
- \* Simetrias discretas.
  - ▴ Paridade.
  - ▴ Translações discretas.

—————//—————

Revisão da última aula

- \* Simetria translação temporal.
- \* Simetria rotações.

—————//—————

Capítulo 8: Simetrias em Mecânica Quântica

8.2 Mecânica Quântica e Simetrias

8.2.2) Simetrias discretas

Até agora consideramos apenas simetrias contínuas. Por nem todas as simetrias relevantes em MQ. são contínuas. Existem vários exemplos de relevantes de simetrias discretas: paridade, translações discretas, rotações discretas, inversão temporal.

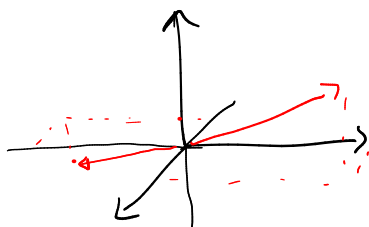
De seguida vamos olhar em det  
de os dois primeiros casos.

### 8.2.2.1) Paridade

Também chama-se de inversão espacial, e classicamente leva

$$\vec{r} \longrightarrow -\vec{r} = (-x, -y, -z)$$

$$\vec{p} = m \dot{\vec{r}} \longrightarrow -m \dot{\vec{r}} = -\vec{p}$$



Usando os valores esperados que se devem comportar classicamente, requeremos

$$\langle \hat{X} \rangle \longrightarrow \langle \hat{X} \rangle_{\pi} = - \langle \hat{X} \rangle$$

$$\langle \hat{P} \rangle \longrightarrow \langle \hat{P} \rangle_{\pi} = - \langle \hat{P} \rangle$$

onde  $\langle \hat{X} \rangle_{\pi} \equiv \langle \psi_{\pi} | \hat{X} | \psi_{\pi} \rangle$  e  $\langle \hat{P} \rangle_{\pi} \equiv \langle \psi_{\pi} | \hat{P} | \psi_{\pi} \rangle$ ,  
tal que

$$|\psi_{\pi}\rangle = \hat{T} |\psi\rangle,$$

onde  $\hat{T}$  é o operador inversão espacial (ou paridade).

Como vai actuar no ket  $|x\rangle$ ?

↳ Esperamos que partícula em  $x$  seja medida para  $-x$ . A forma mais geral será

$$\hat{T} |x\rangle = e^{i\phi(x)} |-x\rangle.$$

Podemos mostrar que

$$\langle \hat{X} \rangle_{\pi} = \langle \psi_{\pi} | \hat{X} | \psi_{\pi} \rangle = \int \int_{-\infty}^{\infty} dx dx' \underbrace{\langle \psi | x \rangle}_{\psi(x)} \underbrace{\langle x | \hat{N}^{\dagger} \hat{X} \hat{N} | \psi \rangle}_{\langle x' | \psi \rangle} \underbrace{\langle -x | e^{-i\hat{g}(x)} | -x' \rangle}_{\psi(x')}$$

$$= \int \int dx dx' \psi^*(x) \underbrace{\langle -x | \hat{X} | -x' \rangle}_{\mathbb{L} -x \cdot \delta(x'-x)} \psi(x') \cdot e^{i[\hat{g}(x') - \hat{g}(x)]}$$

$$= - \int_{-\infty}^{+\infty} dx \psi^*(x) \cdot x \cdot \psi(x) = - \langle \psi | \hat{X} | \psi \rangle$$

$$= - \langle \hat{X} \rangle$$

Para o operador momento procedemos da mesma forma

$$\langle \hat{P} \rangle_{\pi} = \langle \psi_{\pi} | \hat{P} | \psi_{\pi} \rangle = \langle \psi | \hat{N}^{\dagger} \hat{P} \hat{N} | \psi \rangle$$

$$= \dots$$

$$= - \langle \psi | \hat{P} | \psi \rangle - \mathbb{L} \langle \psi | \frac{\partial \hat{g}}{\partial x} | \psi \rangle$$

que se requeremos  $\langle \hat{P} \rangle_{\pi} = - \langle \hat{P} \rangle$

então  $g(x) = \text{constante}$  e podemos ignorar a fase.

Teremos então

$$\hat{T} |x\rangle = |-x\rangle,$$

$$\hat{T} |p\rangle = |-p\rangle.$$

É claro que

$$\begin{aligned}\psi_{\pi}(x) &= \langle x | \psi_{\pi} \rangle = \langle x | \hat{T} | \psi \rangle \\ &= \langle -x | \psi \rangle = \psi(-x)\end{aligned}$$

$$\Rightarrow \psi_{\pi}(x) = \psi(-x)$$

Note: No espaço dos momentos é análogo,  $\psi_{\pi}(p) = \psi(-p)$ .

Se actuarmos duas vezes com  $\hat{N}$  em  $|x\rangle$  teremos

$$\hat{N}^2 |x\rangle = \hat{N} |-x\rangle = | -(-x) \rangle = |x\rangle$$

que sendo válido para todos os  $|x\rangle$  da representação, pode ser escrito

$$\hat{N}^2 = \hat{1}$$

de onde podemos elencar algumas propriedades de  $\hat{N}$ :

(i)  $\hat{N}^{-1} = \hat{N}$  pois  $\hat{N}^2 = \hat{N} \hat{N} = \hat{1}$ .

(ii) Os seus auto-valores são  $\pm 1$  pois  $\hat{N}^2$  tem auto-val  $+1$ , logo  $\hat{N}$  terá auto-val  $\pm \sqrt{+1} = \pm 1$ .

(iii)  $\hat{N}$  é hermitico e unitário, pois  $\langle \psi_N | \psi_N \rangle = \langle \psi | \psi \rangle \Leftrightarrow \langle \psi | \hat{N}^\dagger \hat{N} | \psi \rangle = \langle \psi | \psi \rangle$   
 $\Rightarrow \hat{N}^\dagger \hat{N} = \hat{1} \Rightarrow \hat{N}^\dagger = \hat{N} = \hat{N}^{-1}$ .

Nota: Se  $|\alpha\rangle$  é auto-estado de  $\hat{N}$ , se  
vermos que

$$\hat{N}|\alpha\rangle = a|\alpha\rangle$$

onde  $a = \pm 1$ . Mas sabemos tb  
que

$$\langle x|\hat{N}|\alpha\rangle = \langle -x|\alpha\rangle = \varphi_a(-x)$$

||

$$a\langle x|\alpha\rangle = a\varphi_a(x)$$

ou seja, auto-estados de  $\hat{N}$  na re-  
presentação  $\{|x\rangle\}$  têm paridade bem  
definida, i.e

$$\varphi_a(-x) = a\varphi_a(x) \Rightarrow \begin{cases} \text{função par se } a=+, \varphi_+(-x) = \varphi_+(x) \\ \text{função ímpar se } a=-, \varphi_-(-x) = -\varphi_-(x) \end{cases}$$

Nota: Como  $\langle \hat{X} \rangle_{\hat{N}} = -\langle \hat{X} \rangle \Rightarrow \langle \psi|\hat{N}^+\hat{X}\hat{N}|\psi\rangle = -\langle \psi|$   
 $\hat{X}|\psi\rangle$  e então

$$\hat{N}^+\hat{X}\hat{N} = -\hat{X}$$

$$\Rightarrow \hat{x} \hat{N} = - \hat{N} \hat{x}$$

$$\Rightarrow \hat{x} \hat{N} + \hat{N} \hat{x} = 0$$

$$\Rightarrow \{ \hat{x}, \hat{N} \} = 0$$

ou seja,  $\hat{N}$  e  $\hat{x}$  anti-comutam.

Acontece o mesmo com  $\hat{N}$  e  $\hat{p}$ .

Nota: Os vectores de operadores  $\hat{\vec{X}} = (\hat{x}, \hat{y}, \hat{z})$  e  $\hat{\vec{P}} = (\hat{p}_x, \hat{p}_y, \hat{p}_z)$  também anti-comutam com  $\hat{N}$ , i.e.

$$\{ \hat{N}, \hat{\vec{X}} \} = 0 \Rightarrow \hat{N}^+ \hat{\vec{X}} \hat{N} = - \hat{\vec{X}}$$

$$\{ \hat{N}, \hat{\vec{P}} \} = 0 \Rightarrow \hat{N}^+ \hat{\vec{P}} \hat{N} = - \hat{\vec{P}}$$

como esperado para vectores clássicos. Mas isto não acontece com  $\hat{\vec{L}} = \hat{\vec{X}} \times \hat{\vec{P}}$

$$\hat{N}^+ \hat{\vec{L}} \hat{N} = \hat{\vec{L}} \Rightarrow [\hat{N}, \hat{\vec{L}}] = 0,$$



que  $\hat{L}$  é válido para qualquer outro momento angular.

↳ Vectors que se transformam assim (deser de se transformam normalmente sob rotações) são chamados pseudo-vectors.

Quais as implicações de  $\hat{H}$  invariante por inversão espacial?

↳ Rapidamente concluímos

$$\hat{N}^+ \hat{H} \hat{N} = \hat{H} \Leftrightarrow [\hat{H}, \hat{N}] = 0$$

logo há base do espaço de estados composta por auto-estados comuns a  $\hat{H}$  e a  $\hat{N}$ .

↳ No entanto em geral auto-estados de  $\hat{H}$  não precisam ter paridade bem definida.

Teorema: Se  $|\phi_n\rangle$  é auto-estado não degenerado de  $\hat{H}$  e se  $[\hat{H}, \hat{N}] = 0$  então  $|\phi_n\rangle$  é auto-estado de  $\hat{N}$ , logo tem paridade bem definida.

Demonstração: Notemos que  $\frac{\hat{I} \pm \hat{N}}{2} |\phi_n\rangle$  é auto-estado de  $\hat{N}$  pois

$$\hat{N} \frac{\hat{I} \pm \hat{N}}{2} |\phi_n\rangle = \pm \frac{\hat{N} + \hat{I}}{2} |\phi_n\rangle$$

Mas  $|\phi_n\rangle$  e  $\frac{\hat{I} \pm \hat{N}}{2} |\phi_n\rangle$  têm que ser o mesmo estado pois este é auto-estado não-degenerado de  $\hat{H}$ ,  $\hat{H}|\phi_n\rangle = E_n |\phi_n\rangle$ .  $\square$

Nota: Se  $|\phi_n\rangle$  degenerado isto já não é obrigatório. Mas podemos sempre base em que os  $|\phi_n\rangle$  tenham paridade bem definida.

Nota: Suponhamos  $|\alpha\rangle$  e  $|\beta\rangle$  são auto-estados de  $\hat{N}$

$$\hat{N} |\alpha\rangle = \xi_\alpha |\alpha\rangle,$$

$$\hat{N} |\beta\rangle = \xi_\beta |\beta\rangle,$$

onde  $\xi_{\alpha,\beta} = \pm 1$ . Podemos mostrar que

$$\langle \beta | \hat{X} | \alpha \rangle = 0$$

se  $\xi_\alpha = \xi_\beta$  sendo  $\neq 0$  se

$\xi_\alpha = -\xi_\beta$ . Ou seja, operador

$\hat{X}$  (op. ímpar) "liga" auto-estados de diferentes paridades.

$$\downarrow$$
$$\langle \beta | \hat{X} | \alpha \rangle = \langle \beta | \xi_\beta \hat{N} \hat{X} \hat{N} \xi_\alpha | \alpha \rangle$$

$$= -\xi_\beta \cdot \xi_\alpha \langle \beta | \hat{X} | \alpha \rangle =$$

$$\Rightarrow \text{se } \xi_\alpha = \xi_\beta \Rightarrow \langle \beta | \hat{X} | \alpha \rangle = -\langle \beta | \hat{X} | \alpha \rangle$$

$$\Rightarrow \langle \beta | \hat{X} | \alpha \rangle = 0 \quad \square$$

Nota: Se  $\hat{H}$  é inv. por  $\hat{T}$ , auto-estados não degenerados não podem ter dipolo eléctrico, i.e.,

$$\langle \phi_m | \hat{X} | \phi_m \rangle = 0.$$

Regra de selecção.

Nota: Há leis não invariantes por inversão especial

↳ Interação troca.

↳ Cristal sem inv. especial.

### 8.2.2.2) Simetria de Translação Discreta

É muito relevante em sólidos cristalinos.

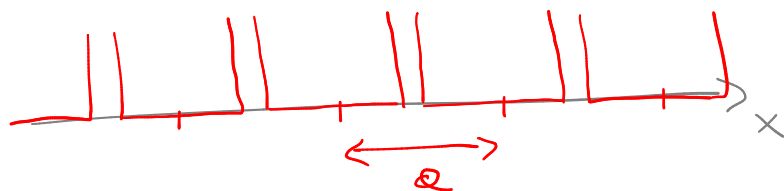
Apenas subconjunto de translações serão o critério do sistema físico.

Vamos trabalhar em 1D. Se o sist.  
tem simetria translação discreta por múlti-  
plos de  $a$ , i.e.

$$\hat{T}^\dagger(R) \hat{H} \hat{T}(R) = \hat{H},$$

onde  $R \in \{0, \pm a, \pm 2a, \pm 3a, \dots\}$ .

Note: Pensemos num  $\hat{H} = \hat{K} + \hat{V}$ , onde  $\hat{V}$   
tem periodicidade  $a$ ,  $V(x+a) = V(x)$ .



Se  $\hat{T}^\dagger(R) \hat{H} \hat{T}(R) = \hat{H}$  e como sabemos  
que  $\hat{T}^\dagger \hat{T} = \hat{1}$  então

$$[\hat{H}, \hat{T}(R)] = 0$$

para  $R \in \{0, \pm a, \pm 2a, \dots\}$ .

Podemos então encontrar base do espaço de estados composta por auto-estados comuns a  $\hat{H}$  e a todos os  $\hat{T}(R)$ , onde  $R \in \{0, \pm a, \dots\}$ .

Mas qual será essa base?

Imaginemos potencial periódico 1D (tal como um cristal),



e  $V(x + a \cdot n) = V(x)$  onde  $n \in \mathbb{N}_0$ .

Consideremos estados centrados num poço,  $|\varphi_n\rangle$ . Como syst. periódico em  $x$ , estes  $|\varphi_n\rangle$  devem ser iguais (só que centrados em poços diferentes).

Atribuindo com  $\hat{T}(a)$  em  $|\varphi_n\rangle$

$$\hat{T}(a)|\varphi_n\rangle = |\varphi_{n+1}\rangle$$

Consequentemente vemos que  $|\varphi_n\rangle$  não são

auto-estados  $\hat{T}(a)$ .

Se combinarmos linearmente todos os  $|\varphi_m\rangle$

$$|\psi\rangle = \sum_{m=-\infty}^{+\infty} c_m |\varphi_m\rangle$$

então

$$\hat{T}(a) |\psi\rangle = \sum_{m=-\infty}^{+\infty} c_m |\varphi_{m+1}\rangle$$

$$\stackrel{m+1=m}{=} \sum_{m=-\infty}^{+\infty} c_{m-1} |\varphi_m\rangle = \lambda |\psi\rangle$$

que será auto-estado de  $\hat{T}(a)$  se  $c_{m-1} = \lambda c_m$  para todo o  $m \in \mathbb{Z}_0$ .

Este tipo de relação terá que se verificar para todas translações discretas que são simetrias de  $\hat{H}$ ,  $\hat{T}(a.v)$  ou  $v \in \mathbb{Z}_0$ ,

$$c_{m-v} = \lambda_v c_m, \quad \forall m, v \in \mathbb{Z}_0.$$

Como  $\hat{T}$  é unitário mas não hermitico (auto-vals são números complexos), então teremos

$$\langle \psi | \psi \rangle = 1$$

$$, \text{ onde } \hat{T}|\psi\rangle = \lambda|\psi\rangle$$

$$\Rightarrow \langle \psi | \hat{T}^\dagger \hat{T} | \psi \rangle = 1$$

$$\Leftrightarrow \langle \psi | \lambda^* \cdot \lambda | \psi \rangle = 1$$

$$\Rightarrow |\lambda|^2 = 1 \Rightarrow \lambda = e^{i\theta}$$

$$\begin{aligned} c_{n-1} &= \lambda c_n \\ \Rightarrow c_{n-1} &= e^{i\theta} \cdot e^{i\theta n} \\ &= e^{i\theta(n-1)} \end{aligned}$$

Fica então claro que os  $c_n = e^{i\theta n}$ , e assim os auto-estados de  $\hat{T}(a,v)$  terão forma

$$|\psi\rangle = \sum_{n=-\infty}^{+\infty} e^{i\theta n} |\varphi_n\rangle$$

tal que

$$\hat{T}(a,v)|\psi\rangle = \sum_{n=-\infty}^{+\infty} e^{i\theta n} |\varphi_{n+v}\rangle$$

$$\stackrel{m=n+v}{=} \sum_{m=-\infty}^{+\infty} e^{i\theta(m-v)} |\varphi_m\rangle$$

$$= e^{-i\theta v} |\psi\rangle$$



Nota: Podemos etiquetar estes auto-estados com  $\theta$ , i.e.  $|\psi_\theta\rangle$ .

Para vermos qual a forma destes auto-estados na repres. posições  $|x\rangle$  fazemos

$$\langle x | \hat{T}(a) | \psi_\theta \rangle = e^{-i\theta a} \langle x | \psi_\theta \rangle = e^{-i\theta a} \psi_\theta(x)$$

$$\Rightarrow \langle x-a | \psi_\theta \rangle = \psi_\theta(x-a)$$

o que implica que

→ funções de Bloch

$$\boxed{\psi_\theta(x) = e^{i\theta x/a} \cdot u(x)}$$

onde  $u(x)$  tem periodicidade da rede cristalina, i.e.  $u(x+a \cdot n) = u(x)$ .

↳ Teorema de Bloch

Por analogia com o que vimos para ondas planas e como  $\hat{T}$  é gerador das translações ( $\vec{p} = \hbar \vec{k}$ ) escolhemos  $\theta = k \cdot a$  e assim

teremos que os auto-estados de  $\hat{T}(a)$

$$|\psi_k\rangle = \sum_{n=-\infty}^{+\infty} e^{i k a n} |\varphi_n\rangle$$

segundo que as funções de Bloch ficam

$$\psi_k(x) = e^{i k x} u(x)$$

Note: Os valores de  $k$  são contínuos.  
Teremos infinitos auto-estados  $|\psi_k\rangle$  de  $\hat{T}(a)$ .

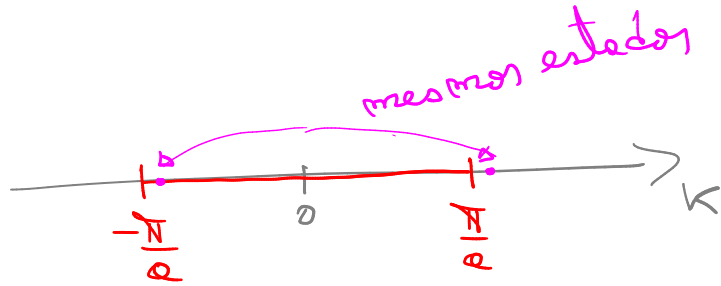
Note: Há periodicidade  $\frac{2\pi}{a}$  nos auto-estados  $|\psi_k\rangle$

$$\begin{aligned} |\psi_{k+2\pi/a}\rangle &= \sum_{n=-\infty}^{+\infty} e^{i(k a n + 2\pi n)} |\varphi_n\rangle \\ &= \sum_{n=-\infty}^{+\infty} e^{i k a n} |\varphi_n\rangle \\ &= |\psi_k\rangle \end{aligned}$$

e assim basta mostrar a outras

para um intervalo de valores de  $k$  de comprimento  $2\pi/a$ .

Nota: Tipicamente escolhamos  $k \in [-\frac{\pi}{a}, \frac{\pi}{a}]$  o qual chamamos Primeira Zona de Brillouin.



Nota: A definição de  $|\psi_k\rangle$  é série de Fourier logo a relação de fechamento é

$$\frac{a}{2\pi} \int_{-\pi/a}^{\pi/a} |\psi_k\rangle \langle \psi_k| dk = 1$$

que podemos verificar

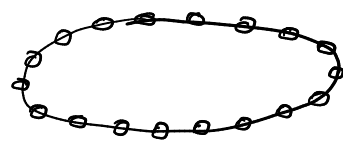
$$|\psi_q\rangle = \sum_{n=-\infty}^{+\infty} e^{i q a n} |\varphi_n\rangle$$

$$\Rightarrow |\psi_q\rangle = \frac{a}{2\pi} \sum_n \int_{-\pi/a}^{\pi/a} e^{i q a n} \underbrace{\langle \psi_k | \varphi_n \rangle}_{\frac{2\pi}{a} \delta(q-k)} |\psi_k\rangle dk$$

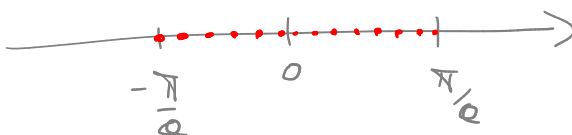
$$\Rightarrow |\psi_q\rangle = \frac{a}{2\pi} \sum_n \int_{-\pi/a}^{\pi/a} e^{i(q-k)an} |\psi_k\rangle dk = |\psi_q\rangle$$

Note: Sólidos periódicos  $|\varphi_{N+n}\rangle = |\varphi_n\rangle$ ,

$$\Rightarrow k_v = \frac{2\pi}{a \cdot N} \cdot v, \text{ onde}$$



$$v = -\frac{N}{2}, \dots, 0, \dots, \frac{N}{2}$$

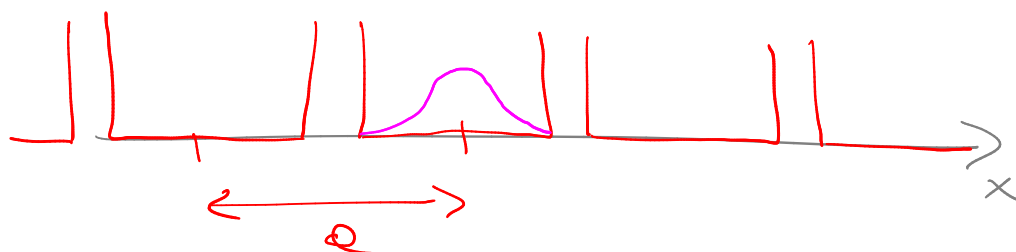


Mas se  $N \rightarrow \infty$  então  $k_{v+1} - k_v = \Delta k = \frac{2\pi}{Na}$ ,

$\Delta k \rightarrow 0$  e podemos escrever os estados  
orbitais em  $\sum_{k_v} \rightarrow \int_{-\pi/a}^{\pi/a} dk$

Note: Em 2D e 3D é essencial-  
mente análogo.

Exemplo: Sequência de pacotes de po-  
tencial infinitos espaçados de  
 $a$ , i.e.  $V(x+a) = V(x)$



O Hamiltoniano será

$$\hat{H} = \sum_n \hat{H}_n$$

onde  $H_n$  é o Hamiltoniano do poço potencial infinito centrado em  $x_n$ ,  $\hat{H}_n |\varphi_n^0\rangle = E_0 |\varphi_n^0\rangle$ .

↳ Consideremos apenas estado fundamental de cada poço, então base  $\{|\varphi_n^0\rangle\}$  e o  $\hat{H}$

$$\hat{H} = \sum_n E_0 |\varphi_n^0\rangle \langle \varphi_n^0|$$

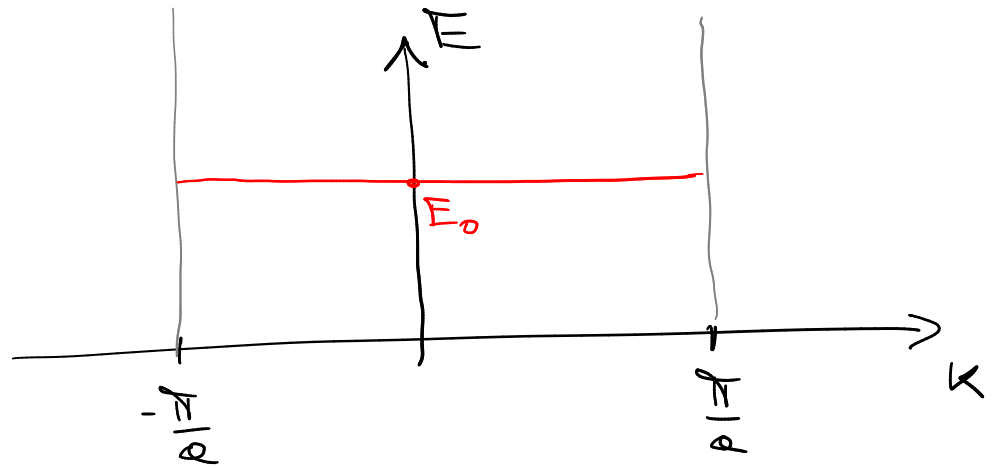
Então na base  $\{|\varphi_k\rangle\}$  teremos

$$\hat{H} |\varphi_k\rangle = \sum_{n=-\infty}^{+\infty} e^{i k x_n} E_0 |\varphi_n^0\rangle$$

$$= E_0 |\varphi_k\rangle$$

Podemos representar estes auto-valor em termos do número quântico  $k$  que

distingue os novos auto-estados de  $\hat{H}$  e  $\hat{f}$ ,



Exemplo: Se agora tivermos poço potencial finito



Como agora  $|\varphi_n^0\rangle$  se estendem até aos poços vizinhos podemos considerar  $\hat{H}$  como

$$\hat{H} = \sum_{n=-\infty}^{+\infty} \left[ E_0 |\varphi_n^0\rangle \langle \varphi_n^0| + \delta |\varphi_n^0\rangle \langle \varphi_{n+1}^0| + \delta |\varphi_{n+1}^0\rangle \langle \varphi_n^0| \right]$$

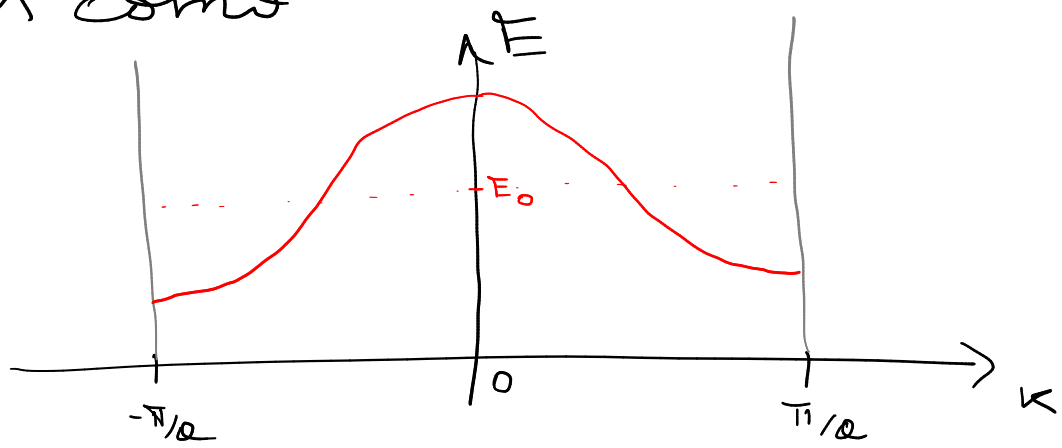
e assim teremos para os auto-estados  $|\psi_k\rangle$  de  $\hat{H}$  e  $\hat{T}$  (a.v)

$$\hat{H}|\psi_k\rangle = \sum_{m=-\infty}^{+\infty} \left[ E_0 |\varphi_m^0\rangle \underbrace{\langle \varphi_m^0 | \varphi_m^0 \rangle}_{\delta_{m,m}} \cdot e^{i k a m} + \underbrace{\delta |\varphi_m^0\rangle \langle \varphi_{m+1}^0 | \varphi_m^0\rangle}_{\delta_{m+1,m}} e^{i k a m} + \delta |\varphi_{m+1}^0\rangle \cdot \underbrace{\langle \varphi_m^0 | \varphi_m^0 \rangle}_{\delta_{m,m}} e^{i k a m} \right]$$

$$= \sum_m \left[ E_0 + \delta (e^{i k a} + e^{-i k a}) \right] |\varphi_m^0\rangle \cdot e^{i k a m}$$

$$= [E_0 + 2\delta \cos(\underbrace{k a}_{\xi})] |\underbrace{\psi_k}_{\xi}\rangle$$

e os auto-valores podem ser representados como



Nota : Chamamos a este representa-  
ção dos níveis de energia, ban-  
das de energia.